

تخمین مسیر حرکت توپ پرتابه و کنترل ربات جهت رسیدن به توپ با استفاده از تک دوربین

بهزاد نوبهار^۱، مریم شعاران^{*۲}، قادر کریمیان خسروشاهی^۳

^۱ فارغ‌التحصیل کارشناسی ارشد مهندسی مکاترونیک، گروه مکاترونیک، دانشگاه تبریز، behzadnobahar@gmail.com

^۲ استادیار، دانشکده مهندسی فناوری‌های نوین، گروه مهندسی مکاترونیک، دانشگاه تبریز، mshoaran@tabrizu.ac.ir

^۳ دانشیار، دانشکده مهندسی برق و کامپیوتر، گروه مهندسی برق- الکترونیک، دانشگاه تبریز، karimian@tabrizu.ac.ir

پذیرش: ۱۳۹۸/۰۱/۲۷

ویرایش: ۱۳۹۷/۱۲/۱۷

دریافت: ۱۳۹۷/۰۸/۱۴

چکیده: در تحقیقات رباتیک گرفتن یک جسم پرتاب شده توسط سیستم رباتیکی یکی از مسائل چالش برانگیز است. نتایج حاصل از این تحقیقات را می‌توان در زمینه سیستم‌های نظارتی مبتنی بر تصاویر ویدئویی، تحلیل تصاویر ویدئویی ورزشی، برنامه‌های نظارت بر فعالیت‌های انسانی و ارتباط انسان و ماشین مورد استفاده قرار داد. در این مقاله الگوریتم جدیدی بر مبنای بینایی ماشین برای تخمین مسیر حرکت پرتابه ارائه شده‌است که به صورت بلادرنگ زمان و مکان برخورد پرتابه با ناحیه کاری ربات را تخمین می‌زند. از نوآوری‌های این مقاله می‌توان به ارائه الگوریتم بهبود یافته‌ای برای تخمین مرکز توپ، استفاده از محاسبات زیر پیکسل برای بهبود تخمین مسیر و بررسی الگوریتم‌های مختلف تخمین مسیر و پیاده‌سازی سخت‌افزاری به صورت بلادرنگ بر روی ربات طراحی شده، اشاره نمود. ترکیب اطلاعات سنسورهای تک دوربین و ژیروسکوپ از دیگر مواردی است که در این مقاله به آن پرداخته شده‌است. نتایج بدست آمده نشان‌دهنده توانایی الگوریتم پیشنهادی در تخمین صحیح مسیر توپ و عملکرد مناسب آن در برابر نویز است.

کلمات کلیدی: بینایی ماشین، تخمین مسیر، سرو بینایی، تشخیص توپ، تک دوربین.

Ball Trajectory Estimation and Robot Control to Reach the Ball Using Single Camera

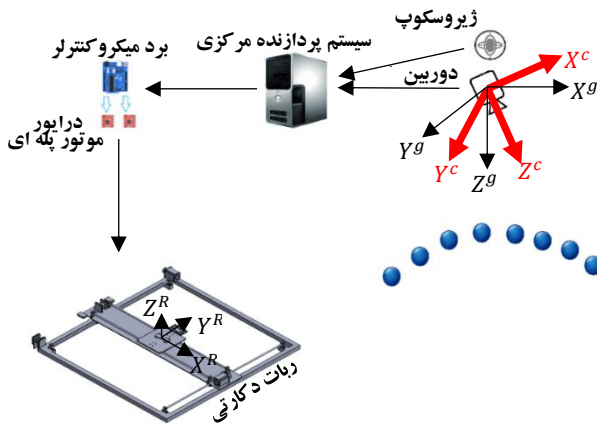
Behzad Nobahar, Maryam Shoaran, Ghader Karimian Khosroshahi

Abstract: In robotics research, catching a projectile object with a robotic system is one of the challenging problems. The outcome of these researches can be used in a wide range of applications such as video surveillance systems, analysis of sports videos, monitoring programs for human activities, and human-machine interactions. In this paper, we propose a new vision-based algorithm to estimate the trajectory of a projectile, which estimates the time and the position of the projectile's collision with the robot's working space in real-time. We use sub-pixel calculations and present an improved algorithm for estimating the center of the ball. We evaluate the performance of different trajectory estimation algorithms and also provide a real-time hardware implementation of our method on a designed robot. Moreover, the combination of single-camera and gyroscope information is studied in this paper. The results show that the proposed algorithm is capable of correctly estimating the ball's trajectory and has a very good performance against the noise.

Keywords: Machine Vision, Trajectory Estimation, Visual Servoing, Ball Detection, Single Camera.

مقاله می‌توان به ارائه الگوریتم بهبود یافته‌ای برای تخمین مرکز توب، استفاده از محاسبات زیر پیکسل^۳ برای تخمین مرکز توب و بررسی الگوریتم‌های مختلف تخمین مسیر (حدائق مربعات، فیلتر کالمان و لونبرگ مارکوات) و پیاده‌سازی سخت‌افزاری الگوریتم حدائق مربعات به صورت بلادرنگ، بر روی رباتی از نوع دکارتی که طراحی و ساخته شده، اشاره نمود. ربات طراحی شده دارای یک سبد برای گرفتن توب است و می‌تواند سبد را در راستای محورهای X و Y خود حرکت دهد. یک نمای کلی از سخت‌افزار به همراه سه دستگاه مختصات سرتاسری (X^g, Y^g, Z^g) دوربین (X^R, Y^R, Z^R) و ربات (X^C, Y^C, Z^C) در شکل ۱ نمایش داده شده است.

در ادامه در بخش دوم مژویی بر تحقیقات پیشین ارائه می‌گردد. در بخش سوم الگوریتم پیشنهادی بیان شده و بخش چهارم نتایج ارائه می‌گردد و در بخش آخر جمع‌بندی بیان می‌گردد.



شکل ۱: نمای کلی از سخت‌افزار به همراه دستگاه‌های مختصات دوربین، سرتاسری و ربات

۲- مژویی بر تحقیقات پیشین

از نمونه کارهای انجام شده در زمینه تخمین مسیر حرکت پرتابه و گرفتن آن توسط ربات با استفاده از بینایی ماشین، می‌توان به موارد زیر اشاره کرد. در سال ۲۰۰۷ ژانگ و همکاران [۷] ساختاری برای پرتاب و گرفتن توب و الیار ارائه کردند. در این مقاله از قوانین فازی ساده برای تعیین موقعیت ضربه، استفاده شده است. ایوان رینینک و همکاران در سال ۲۰۰۹ [۸] با استفاده از ساختار تک دوربین ثابت و یک بازوی صنعتی، امکان تخمین مسیر توب را بررسی کردند. خطای تخمین بین ۳ تا ۵۰ سانتی‌متر گزارش شده است. هرجان و همکارانش در سال ۲۰۱۰ [۹] با استفاده از ساختار تک دوربین ثابت سعی در تخمین مسیر یک توب پرتابه کردند. در این مطالعه دوربین به صورت ثابت در سقف نصب شده است برآورد مسیر با استفاده از توالی تصاویر و روش حدائق مربعات انجام شده است. در سال ۲۰۱۱ تیان و همکاران [۱۰] یک سیستم بینایی استریو برای یک ربات پینگ‌پنگ

۱- مقدمه

در تحقیقات رباتیک یکی از مسائل چالش برانگیز گرفتن یک پرتابه توسط سیستم رباتیک است [۱]. تحقق این امر مستلزم وجود قابلیت‌هایی مختلفی نظیر ادراک هوشمند محیط توسط سنسورهای ربات، دنبال کردن جسم پرتاب شده، تخمین حرکت جسم و برنامه‌ریزی بلادرنگ مسیر حرکت ربات است. در این مقاله با استفاده از تک دوربین مسیر حرکت پرتابه تخمین زده می‌شود، به طوری که در زمان مناسب، ربات قادر به گرفتن توب باشد.

سیستم‌های بینایی تک دوربین و استریو متداول‌ترین سیستم‌های به کار رفته در پژوهش‌های پیشین است. سیستم تک دوربین نسبت به استریو ارزان‌تر بوده و کالیبره کردن آن راحت‌تر می‌باشد. در مقابل سیستم استریو یک دید سه بعدی از محیط می‌دهد که ساختار تک دوربین فاقد آن است [۴-۲]. می‌توان گفت در صورتی که بتوان با ساختار تک دوربین مسیر حرکت سه بعدی پرتابه را تشخیص داد، این ضعف ساختار تک دوربین پوشش داده می‌شود. همچنین با توجه به این که در ساختار استریو حجم اطلاعات دریافی بالاتر بوده، سرعت پردازش بشدت به الگوریتم و سخت‌افزار مورد استفاده وابسته است.

از الگوریتم‌هایی که در زمینه تخمین مسیر در پژوهش‌های قبلی به کار رفته می‌توان به روش‌های حدائق مربعات، کالمان خطی^۱ و غیرخطی و روش لونبرگ مارکوات^۲ اشاره کرد. روش‌های غیرخطی دارای حجم پردازش بالایی هستند که عملکرد بلادرنگ سیستم را دچار مشکل می‌کنند و برای انجام بلادرنگ این حجم از پردازنده‌های قوی نیاز خواهد شد. از طرفی دقت روش‌های غیرخطی دقت قابل قبولی بوده و همین امر موجب می‌شود نتوان از این الگوریتم‌ها چشم‌پوشی کرد. با توجه به این نکات ترکیب روش‌های خطی و غیرخطی در اکثر مقالات مورد توجه قرار گرفته است، به طوری که گاهی برای تخمین اولیه از روش خطی و برای تخمین دقیق‌تر از روش غیرخطی استفاده شده است. در اغلب کاربردها علاوه بر دقت الگوریتم، سرعت رسیدن به تخمین بهتر نیز عامل تعیین‌کننده‌ای است، به این معنی که با تعداد نمونه کمتر مقدار تخمینی توسط الگوریتم به مقدار واقعی نزدیک باشد. در این زمینه پژوهش‌های زیادی در سال‌های اخیر انجام گرفته است. از ساختار تک دوربین می‌توان به کارهای ویژنو و لیپیلو و همکارانش [۵] اشاره نمود که با استفاده از سیستم تک دوربین و روش تخمین مبتنی بر بهینه‌سازی لونبرگ مارکوات مسیر توب را تخمین زندن و از ساختار دوربین استریو می‌توان به تحقیق کاثو و همکارانش [۶] اشاره کرد.

در این مقاله الگوریتمی پیشنهاد شده است که با استفاده از تک دوربین ثابت، مسیر حرکت یک توب پرتابی را تخمین زده و به ربات فرمان داده می‌شود که در زمان مناسب قادر به گرفتن توب باشد. از نوآوری‌های این

^۳ subpixel

^۱ Kalaman filter

^۲ Levenberg-Marquardt

۱-۳ مرحله تشخیص مرکز توب

هدف این مرحله استخراج مرکز توب است. برای تشخیص جسم متوجه از روش حذف پس زمینه استفاده شد. در این روش ابتدا یک تصویر از پس زمینه گرفته شده سپس فریم‌ها با تصویر پس زمینه مقایسه و از یکدیگر تفرق می‌شوند و یک حد آستانه به تصویر حاصل اعمال می‌گردد. از آنجایی که تغییر نور محیط و سایه اجسام همواره وجود دارد حاصل تفرق دارای تعداد زیادی نواحی کوچک خواهد بود. با اعمال یک فیلتر میانه $11*11$ به تصویر، تعداد زیادی از این نواحی حذف می‌شوند. سپس با بررسی سه پارامتر شعاع، مساحت و موقعیت مرکز هر کدام از نواحی باقیمانده ناحیه شامل توب حفظ شده و بقیه نواحی حذف می‌گردد. پس از تشخیص ناحیه قرار گرفتن توب، مرکز توب تشخیص داده می‌شود. در صورتی که توب ساکن باشد و یا سرعت کمی داشته باشد، تشخیص مرکز توب بالا گوریتم هایی نظیر تبدیل هاف قابل قبول است (هر چند هزینه محاسباتی آنها زیاد است) ولی از آنجایی که سرعت توب زیاد است و در سرعت بالا تصویر توب متوجه در صفحه تصویر مانند یک ییضی است و نه یک دایره (شکل ۲-الف)، دیگر این گوریتم‌ها کارایی و دقت مناسب را ندارند. از این‌رو از روش پیشنهادی زیر برای این منظور استفاده نمودیم. در گام نخست تصویر پردازش شده و ناحیه قرار گرفتن توب بروش فوق استخراج می‌شود (شکل ۲-ب). با بدست آوردن خط منصف کانتور (شکل ۲-پ) و یافتن زاویه آن با محور افقی، تصویر را به اندازه زاویه بدست آمده می‌چرخانیم (شکل ۲-ت). حال فاصله مرکز کانتور تا حاشیه کانتور در راستای محور عمودی اندازه گرفته می‌شود، از آنجایی که حرکت توب در یک راستا است می‌توان محور عمود به این راستا را شاعع در نظر گرفت (شکل ۲-ث). با استفاده از این شاعع و خط منصف و جهت حرکت مرکز توب را می‌یابیم (شکل ۲-ج).



ب. کانتور توب در سرعت بالا

الف. تصویر ثبت شده توب با سرعت بالا



ت. چرخاندن تصویر



پ. یافتن خط منصف کانتور

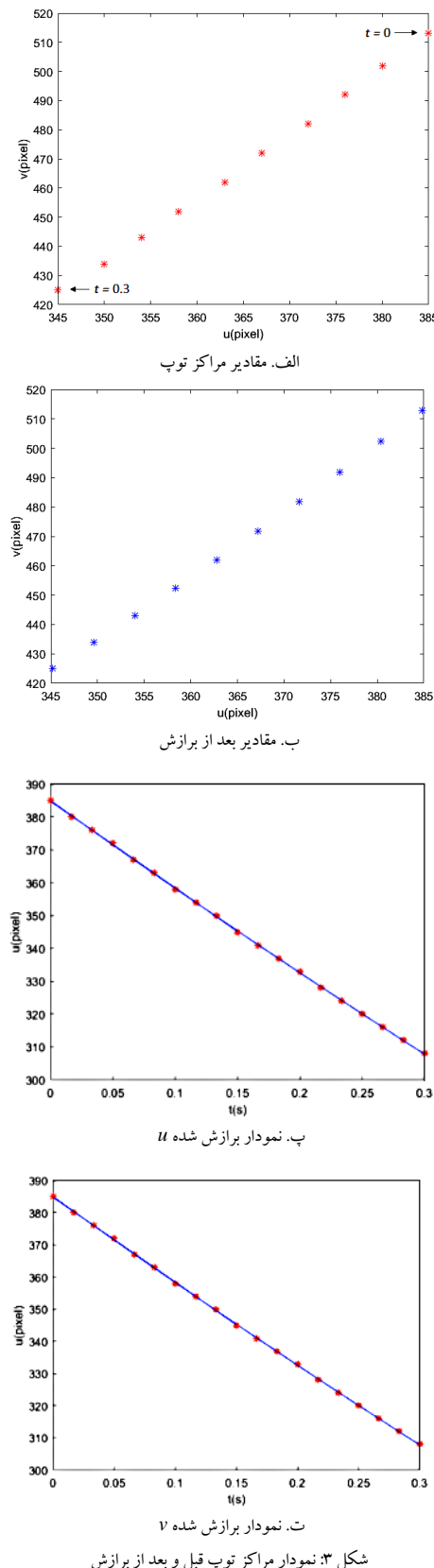
ث. یافتن فاصله در راستای عمودی
ج. یافتن مرکز توب
شکل ۲: مراحل یافتن مرکز توب در حال حرکت

باز ارائه کردند. آنها از الگوریتم پنج نقطه‌ای برای تخمین صحیح در فضای سه بعدی استفاده نمودند. در سال ۲۰۱۲ کیم و همکاران [۱۱] روشی برای تخمین مسیر اشیاء پرتابه ارائه دادند که دینامیک اشیاء مختلف را لحظه کرده است. در این مقاله عملکرد روش‌های رگرسیون غیرخطی ارزیابی شده و مسیر با یک فیلتر کالمن توسعه یافته برآورد شده است. خی و همکارانش در سال ۲۰۱۴ [۱۲] یک سیستم مبتنی بر دو دوربین برای پیش‌بینی حرکت توب در بازی پینگ‌پنگ ارائه دادند. در این تحقیق مدل حرکت توب پینگ‌پنگ توسط یک تابع پارامتری چندجمله‌ای بر حسب زمان بیان شده و پارامترها تخمین زده شده‌اند. در سال ۲۰۱۵ لی و همکاران [۱۳] یک الگوریتم برای برآورد موقعیت و مسیر یک توب پرتابه در فضای سه بعدی با یک سنسور RGBD ارائه کردند. شناسایی توب و مسیر آن با روشن پیش‌بینی مبتنی بر رنگ مورد استفاده قرار گرفته است. ویژزو لیپیلو و همکارانش در سال ۲۰۱۵ [۱۴] یک چارچوب کنترل یکپارچه برای گرفتن توب پرتاب شده توسط ریات با یک سیستم حرکتی تک دوربین پیشنهاد دادند. توب پرتاب شده از طریق یک الگوریتم تشخیص دایره بصری شناسایی شده و اولین برآورد نقطه فروند ابتدا از طریق یک الگوریتم خطی محاسبه شده سپس اندازه گیری‌های بصری بعدی در ادامه کار به طور مداوم برآورد فعلی را با بهره‌برداری از یک الگوریتم بهینه‌سازی غیرخطی و یک مدل بالستیک دقیق کرده است.

با توجه به پژوهش‌های انجام گرفته می‌توان گفت سه روش حداقل مربعات، کالمن و لوئنبرگ مارکوات پرکاربردترین روش‌ها در تخمین مسیر حرکت پرتابه هستند. همچنین از بین سیستم‌های بینایی مبتنی بر تک دوربین، دوربین استریو و دوربین RGBD، استفاده از تک دوربین برای تخمین مسیر به علت کمتر بودن اطلاعات کار دشوارتری است. در ادامه این پژوهش علاوه بر بررسی هر سه روش تخمین، سعی در تخمین مسیر پرتابه با استفاده از اطلاعات تک دوربین شده است که در قسمت تشریح الگوریتم پیشنهادی به تفصیل به این موضوع پرداخته می‌شود.

۳- تشریح الگوریتم پیشنهادی

در مرحله نخست فریم‌های متوالی تصویر از دوربین دریافت شده و با پردازش تصاویر دریافتی توب و مرکز آن تشخیص داده شود. در مرحله بعدی یک منحنی درجه سه به مرکز توب استخراجی برازش می‌شود و از روی نمودار برازش شده مرکز توب در حد زیر پیکسل محاسبه می‌شود و برای مرحله تخمین مسیر ارسال می‌گردد. در این مرحله مسیر توب در دستگاه مختصات دوربین تخمین زده سپس نقطه برخورد توب با ناحیه کاری ریات محاسبه می‌شود و بالاخره در مرحله آخر مناسب با نقطه برخورد محاسبه شده دستور لازم برای ریات ارسال می‌گردد. در ادامه به تشریح مراحل مختلف الگوریتم پیشنهادی می‌پردازیم.



۳-۲ مرحله برآش منحنی

برای کم کردن اثرات ناشی از کوانتیزاسیون تصویر، موقعیت پیکسل‌ها را با دقت در حد زیر پیکسل تخمین می‌زنیم به این صورت که پس از مشاهده شدن توب در میدان دید دوربین و استخراج مراکز توب از فریم‌ها (شکل ۳ الف) و ثبت زمان آنها، به مختصات مرکز توب در هر فریم یک معادله درجه سه نسبت به زمان برآش می‌شوند (شکل‌های ۳ پ و ۳ ت) و پس از بدست آوردن دو منحنی درجه سه، از آنها در زمان‌های (زمان فریم t_f ام) نمونه‌برداری می‌شود و نمونه‌ها بعنوان مراکز اصلاح شده توب برای الگوریتم تخمین مسیر ارسال می‌گردد (شکل ۳ ب).

۳-۳ الگوریتم تخمین مسیر

برای تخمین مسیر چهار روش حداقل مربعات، فیلتر کالمون با استفاده از داده‌های کمکی ژیروسکوپ، فیلتر کالمون فقط با استفاده از داده‌های تصویر و روش لونبرگ مارکوات مورد بررسی قرار گرفت. برای تخمین مسیر پرتابه دو مدل حرکتی برای مسیر پرتابه استفاده شد. مدل اول با فرض وجود اطلاعات ژیروسکوپ و مدل دوم بدون این فرض و در حالت کلی نوشته شده‌است. دستگاه‌های مختصات در شکل ۱ نمایش داده شدند. در مدل اول موقعیت جسم در دستگاه مختصات سرتاسری ($p_{xi}^g, p_{yi}^g, p_{zi}^g$) در لحظه t_i به شکل رابطه ۱ نوشته می‌شود. محورهای Y^g و X^g موازی صفحه زمین و محور Z^g عمود بر صفحه زمین فرض شده است. در این رابطه شتاب گرانش با g تعریف شده است. پارامترهای c_1 تا c_6 مجھول‌های مسئله هستند که بسته به مسیرهای مختلف پرتابه، مقادیر متفاوتی دارند.

$$\begin{cases} p_{xi}^g = c_1 + c_2 t_i \\ p_{yi}^g = c_3 + c_4 t_i \\ p_{zi}^g = c_5 + c_6 t_i + \frac{1}{2} g t_i^2 \end{cases} \quad (1)$$

در مدل دوم موقعیت جسم در دستگاه مختصات دوربین ($p_{xi}^c, p_{yi}^c, p_{zi}^c$) در لحظه t_i به شکل رابطه کلی ۲ نوشته می‌شود که در تمامی راستاهای X^c ، Y^c و Z^c حرکت شتابدار است. پارامترهای c_7 تا c_9 مجھول‌های مسئله هستند.

$$\begin{cases} p_{xi}^c = c_1 + c_2 t_i + c_3 t_i^2 \\ p_{yi}^c = c_4 + c_5 t_i + c_6 t_i^2 \\ p_{zi}^c = c_7 + c_8 t_i + c_9 t_i^2 \end{cases} \quad (2)$$

۳-۳ تخمین مسیر پرتاب توب به روش حداقل مربعات با استفاده از اطلاعات تصویر و ژیروسکوپ (LSIG)

دوربین بر مکر دستگاه مختصات سرتاسری منطبق است کافی است p_i^g در یک ماتریس دوران ضرب شود (رابطه ۵). درایه های ماتریس دوران به دلیل استفاده از ژیروسکوپ جزء معلومات مسئله هستند. باید توجه داشت که به دلیل ثابت بودن دوربین کافیست یکبار اطلاعات ژیروسکوپ خوانده شود و همین اطلاعات به فریم های بعدی تعیین داده شود. البته در صورتی که دوربین متحرك باشد باید علاوه بر خواندن اطلاعات در هر فریم، هم زمانی بین اطلاعات دریافتی توسط دوربین و ژیروسکوپ نیز در نظر گرفته شود. در این رابطه \mathbf{C} مخفف \cos و \mathbf{S} مخفف \sin است.

$$\begin{bmatrix} p_{xi}^c \\ p_{yi}^c \\ p_{zi}^c \end{bmatrix} = \begin{bmatrix} r_{11} & r_{12} & r_{13} \\ r_{21} & r_{22} & r_{23} \\ r_{31} & r_{32} & r_{33} \end{bmatrix} \begin{bmatrix} p_{xi}^g & p_{yi}^g & p_{zi}^g \end{bmatrix}^T = \begin{bmatrix} c\theta\gamma & -c\varphi\gamma + s\varphi s\theta\gamma & s\varphi\gamma + c\varphi s\theta\gamma \\ c\theta\gamma & c\varphi\gamma + s\varphi s\theta\gamma & -s\varphi\gamma + c\varphi s\theta\gamma \\ -s\theta & s\varphi c\theta & c\varphi c\theta \end{bmatrix} \quad (5)$$

$$\begin{bmatrix} p_{xi}^g & p_{yi}^g & p_{zi}^g \end{bmatrix}^T$$

در رابطه ۵، (X^c, Y^c, Z^c) زوایای چرخش محورهای $(\gamma, \theta, \varphi)$ باشند. اکنون با جایگذاری رابطه ۱ در رابطه ۵ رابطه ۶ حاصل می شود.

$$\begin{bmatrix} p_{xi}^c \\ p_{yi}^c \\ p_{zi}^c \end{bmatrix} = \begin{bmatrix} r_{11} & r_{12} & r_{13} \\ r_{21} & r_{22} & r_{23} \\ r_{31} & r_{32} & r_{33} \end{bmatrix} \begin{bmatrix} c_1 + c_2 t_i \\ c_3 + c_4 t_i \\ c_5 + c_6 t_i + \frac{1}{2} g t_i^2 \end{bmatrix} \quad (6)$$

با جایگذاری رابطه ۶ و ۴ در رابطه ۳ رابطه ۷ حاصل می گردد.

$$\begin{bmatrix} q_{yi}^c r_{31} - q_{zi}^c r_{21} & q_{zi}^c r_{11} - q_{xi}^c r_{31} & q_{xi}^c r_{21} - q_{yi}^c r_{11} \\ (q_{yi}^c r_{31} - q_{zi}^c r_{21}) t_i & (q_{zi}^c r_{11} - q_{xi}^c r_{31}) t_i & (q_{xi}^c r_{21} - q_{yi}^c r_{11}) t_i \\ q_{yi}^c r_{32} - q_{zi}^c r_{22} & q_{zi}^c r_{12} - q_{xi}^c r_{32} & q_{xi}^c r_{22} - q_{yi}^c r_{12} \\ (q_{yi}^c r_{32} - q_{zi}^c r_{22}) t_i & (q_{zi}^c r_{12} - q_{xi}^c r_{32}) t_i & (q_{xi}^c r_{22} - q_{yi}^c r_{12}) t_i \\ q_{yi}^c r_{33} - q_{zi}^c r_{23} & q_{zi}^c r_{13} - q_{xi}^c r_{33} & q_{xi}^c r_{23} - q_{yi}^c r_{13} \\ (q_{yi}^c r_{33} - q_{zi}^c r_{23}) t_i & (q_{zi}^c r_{13} - q_{xi}^c r_{33}) t_i & (q_{xi}^c r_{23} - q_{yi}^c r_{13}) t_i \end{bmatrix}^T$$

$$\begin{bmatrix} c_1 \\ c_2 \\ c_3 \\ c_4 \\ c_5 \\ c_6 \end{bmatrix} = \begin{bmatrix} \frac{1}{2} g t_i^2 (q_{yi}^c r_{33} - q_{zi}^c r_{23}) \\ \frac{1}{2} g t_i^2 (q_{zi}^c r_{13} - q_{xi}^c r_{33}) \\ \frac{1}{2} g t_i^2 (q_{xi}^c r_{23} - q_{yi}^c r_{13}) \end{bmatrix} \quad (7)$$

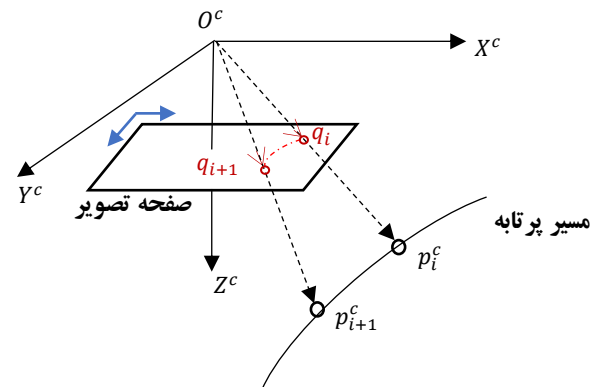
رابطه ۷ را به شکل $A_i X_i = B_i$ در نظر می گیریم که X_i ماتریس مجهولات و برابر $[C_1 \ C_2 \ C_3 \ C_4 \ C_5 \ C_6]^T$ است. برای تخمین مقادیر پارامترهای مجهول C_1 تا C_6 از روش تخمین حداقل مربعات خطای استفاده کردیم.

۳-۳-۲ تخمین مسیر پرتاب توب به روش فیلتر کالمن

برای تخمین مسیر حرکت پرتابه از فیلتر کالمن نیز استفاده شده است.

برای این منظور دو حالت در نظر گرفته شده که حالت اول با استفاده از اطلاعات تصویر و ژیروسکوپ و حالت دوم تنها با استفاده از اطلاعات

در این قسمت فرض بر این است که مرکز دستگاه مختصات دوربین و دستگاه مختصات سرتاسری بر هم منطبق هستند و با استفاده از اطلاعات ژیروسکوپ زوایای چرخش بین این دو دستگاه مشخص هستند. در شکل ۴ مسیر حرکت توب، دستگاه مختصات دوربین و صفحه تصویر نمایش داده شده است. موقعیت توب در دستگاه مختصات دوربین در لحظه t_i در نقطه p_i^c و تصویرش در نقطه q_i و در لحظه t_{i+1} در نقطه p_{i+1}^c از دستگاه مختصات دوربین و تصویرش در نقطه q_{i+1}^c روی صفحه تصویر قرار گرفته است.



شکل ۴: مسیر حرکت توب و تصویر آن در دو فریم متالی در دستگاه مختصات دوربین

بردار $\mathbf{O}^c q_i = [q_{xi}^c, q_{yi}^c, q_{zi}^c]^T$ که مرکز دستگاه مختصات دوربین را به مرکز تصویر جسم متصل می کند بر بردار $\mathbf{O}^c p_i^c$ که مرکز دوربین را به جسم متصل می کند منطبق است، پس ضرب خارجی این دو بردار مطابق رابطه ۳ برابر صفر خواهد بود.

$$\begin{aligned} \mathbf{O}^c q_i \times \mathbf{O}^c p_i^c &= 0 \\ \rightarrow \begin{cases} q_{xi}^c p_{yi}^c - q_{yi}^c p_{xi}^c = 0 \\ q_{yi}^c p_{zi}^c - q_{zi}^c p_{yi}^c = 0 \\ q_{zi}^c p_{xi}^c - q_{xi}^c p_{zi}^c = 0 \end{cases} & (3) \end{aligned}$$

بردار $\mathbf{O}^c q_i$ را می توان به شکل رابطه ۴ بیان کرد که در آن (u_i, v_i) مختصات نقطه q_i در صفحه تصویر و (u_0, v_0) مختصات مرکز تصویر بر حسب پیکسل می باشند. برای این که به توان این دو مقدار را به صورت متریک بیان نمود آن ها را در d_x و d_y ضرب می کنیم که به ترتیب اندازه طول و عرض پیکسل ها در واحد طول هستند و f فاصله کانونی دوربین است.

$$O^c q_i = \begin{bmatrix} q_{xi}^c \\ q_{yi}^c \\ q_{zi}^c \end{bmatrix} = \begin{bmatrix} (u_i - u_0)d_x \\ (v_i - v_0)d_y \\ f \end{bmatrix} \quad (4)$$

برای بیان مختصات p_i^c باید معادله حرکت توب را در دستگاه مختصات دوربین بیان کنیم. حرکت توب در دستگاه مختصات سرتاسری توسط رابطه ۱ مدل شده است و از آنجایی که مرکز دستگاه مختصات

معادله اندازه‌گیری فیلتر کالمن استفاده نمود. در این صورت تخمین بردار X_i با استفاده از معادله اندازه‌گیری فیلتر به صورت رابطه ۱۱ خواهد بود.

$$\hat{X}_i = \hat{X}_i^- + K_i(Z_i - H_i \hat{X}_i^-) \quad (11)$$

که در اینجا Z_i و H_i با استفاده از معادله ۹ و به صورت زیر قابل محاسبه هستند.

$$H_i = \begin{bmatrix} f_u r_{11} - r_{31} U_i & f_v r_{21} - r_{31} V_i \\ (f_u r_{11} - r_{31} U_i) t_i & (f_v r_{21} - r_{31} V_i) t_i \\ f_u r_{12} - r_{32} U_i & f_v r_{22} - r_{32} V_i \\ (f_u r_{12} - r_{32} U_i) t_i & (f_v r_{22} - r_{32} V_i) t_i \\ f_u r_{13} - r_{33} U_i & f_v r_{23} - r_{33} V_i \\ (f_u r_{13} - r_{33} U_i) t_i & (f_v r_{23} - r_{33} V_i) t_i \end{bmatrix}^T \quad (12)$$

$$Z_i = \begin{bmatrix} \frac{1}{2} g t_i^2 (r_{33} U_i - f_u r_{13}) \\ \frac{1}{2} g t_i^2 (r_{33} V_i - f_v r_{23}) \end{bmatrix} \quad (13)$$

همچنین K_i بهره فیلتر بوده و از رابطه ۱۴ محاسبه می‌شود.

$$K_i = P_i^- H_i^T (H_i P_i^- H_i^T + N_i)^{-1} \quad (14)$$

که در این رابطه N_i ماتریس کوواریانس نویز است. برای بروز کردن ماتریس کوواریانس خطای نیز از رابطه ۱۵ استفاده می‌شود.

$$P_i = (I - K_i H_i) P_i^- \quad (15)$$

۳-۳-۲-۲ تخمین مسیر با استفاده از اطلاعات تصویر و روش کالمن و بدون استفاده از ژیروسکوپ (KFI)

در این قسمت به دلیل عدم وجود اطلاعات ژیروسکوپ، مساله در حالت کلی و در دستگاه مختصات دوربین حل شده است و موقعیت توب در دستگاه مختصات دوربین (رابطه ۲) با استفاده از اطلاعات تصویر و به روش فیلتر کالمن تخمین زده می‌شود. در رابطه ۲، C_1 تا C_6 همه مجهول هستند ولی با فرض $dC_9 = 1$ [۷] پارامتر d به صورت رابطه ۱۶ محاسبه می‌شود.

$$d = 2 \sqrt{\frac{c_3^2 + c_6^2 + 1}{g^2}} \quad (16)$$

با استفاده از تجزیه برداری شتاب (رابطه ۱۷) می‌توان یکی از مجهولات را حذف کرد.

$$\frac{1}{d^2} c_3^2 + \frac{1}{d^2} c_6^2 + \frac{1}{d^2} c_9^2 = \frac{g^2}{4} \quad (17)$$

با جاگذاری رابطه ۲ در رابطه ۸ و با استفاده از رابطه ۱۷، رابطه ۱۸ حاصل می‌گردد.

$$\begin{cases} d(c_7 U_i + c_8 U_i t_i + f_u c_1 + f_u c_2 t_i + f_u c_3 t_i^2) \\ \qquad\qquad\qquad = t_i^2 U_i \\ d(c_7 V_i + c_8 V_i t_i + f_v c_4 + f_v c_5 t_i + f_v c_6 t_i^2) \\ \qquad\qquad\qquad = t_i^2 V_i \end{cases} \quad (18)$$

تصویر است. در هر دو حالت با استفاده از فیلتر کالمن مسیر حرکت پرتابه تخمین زده می‌شود.

۳-۳-۲-۱ تخمین مسیر با استفاده از اطلاعات تصویر و ژیروسکوپ و روش فیلتر کالمن (KFIG)

فرضیات این قسمت همانند روش LSIG است با این تفاوت که برای تخمین مسیر حرکت پرتابه از فیلتر کالمن استفاده شده است. همچنین با فرض مدل روزنامه‌ای برای دوربین رابطه ۸ بین موقعیت جسم در دستگاه مختصات دوربین $(p_{xi}^c, p_{yi}^c, p_{zi}^c)$ و تصویرش در صفحه تصویر (u_i, v_i) برقرار است که در آن (u_0, v_0) مختصات مرکز صفحه تصویر f_u و f_v فاصله کانونی برحسب پیکسل در راستای محورهای افقی و عمودی صفحه تصویر هستند.

$$\begin{aligned} u_i &= u_0 + f_u \frac{p_{xi}^c}{p_{zi}^c} \\ v_i &= v_0 + f_v \frac{p_{yi}^c}{p_{zi}^c} \end{aligned} \quad (18)$$

در اینجا نیز با استفاده از ژیروسکوپ و تبدیل مختصات نقاط بین دستگاه مختصات دوربین و سرتاسری با استفاده از رابطه ۵ و با جاگذاری رابطه ۶ در رابطه ۸ و با فرض $U_i \triangleq u_i - u_0$ و $V_i \triangleq v_i - v_0$ حاصل می‌شود.

$$\begin{bmatrix} f_u r_{11} - r_{31} U_i & f_v r_{21} - r_{31} V_i \\ (f_u r_{11} - r_{31} U_i) t_i & (f_v r_{21} - r_{31} V_i) t_i \\ f_u r_{12} - r_{32} U_i & f_v r_{22} - r_{32} V_i \\ (f_u r_{12} - r_{32} U_i) t_i & (f_v r_{22} - r_{32} V_i) t_i \\ f_u r_{13} - r_{33} U_i & f_v r_{23} - r_{33} V_i \\ (f_u r_{13} - r_{33} U_i) t_i & (f_v r_{23} - r_{33} V_i) t_i \end{bmatrix}^T \begin{bmatrix} C_1 \\ C_2 \\ C_3 \\ C_4 \\ C_5 \\ C_6 \end{bmatrix} = \begin{bmatrix} \frac{1}{2} g t_i^2 (r_{33} U_i - f_u r_{13}) \\ \frac{1}{2} g t_i^2 (r_{33} V_i - f_v r_{23}) \end{bmatrix} \quad (19)$$

برای تخمین مجهولاتی رابطه ۹ از فیلتر کالمن استفاده می‌شود. با فرض اینکه بردار حالت فیلتر در لحظه t_i بصورت \hat{X}_i^- در نظر گرفته شود، تخمین بردار حالت \hat{X}_i^- و تخمین ماتریس کوواریانس خطای P_i^- با استفاده از معادله حالت فیلتر به صورت رابطه ۱۰ خواهد بود.

$$\begin{aligned} \hat{X}_i^- &= \emptyset_{i-1} \hat{X}_{i-1} \\ P_i^- &= \emptyset_{i-1} P_{i-1} \emptyset_{i-1}^T + Q_{i-1} \end{aligned} \quad (10)$$

در این رابطه \emptyset_{i-1} ماتریس گذر حالت \hat{X}_{i-1} تخمین بردار حالت P_{i-1} و Q_{i-1} بترتیب ماتریسهای کوواریانس خطای و فرآیند در لحظه t_{i-1} هستند (برای این مساله ماتریس همانی در نظر گرفته شده است). می‌توان رابطه ۹ را به شکل $H_i X_i = Z_i$ نوشت و از آن به عنوان

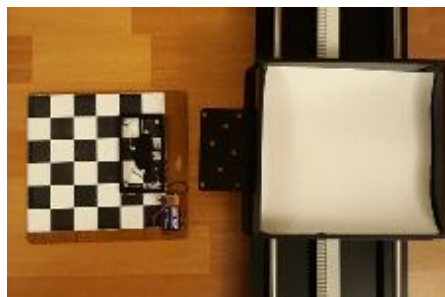
ربات (X^R, Y^R, Z^R) و دستگاه مختصات دوربین (X^c, Y^c, Z^c) از یک صفحه شطرنجی و دو الگوی کالیبراسیون اختصاصی یکی روی ربات واقع در سبد ربات و یکی هم به شکل مستقل استفاده شد (شکل ۵). محاسبه بردار انتقال و ماتریس چرخش بین دستگاه‌های مختصات ربات و دوربین در سه مرحله به شرح زیر انجام می‌شود.



الف. صفحه شطرنجی



ب. الگوی کالیبراسیون ربات



پ. الگوی واقع در سبد ربات

شکل ۵: الگوهای بکار رفته برای کالیبراسیون دوربین و ربات

مرحله اول: محاسبه بردار انتقال و ماتریس چرخش بین دستگاه‌های مختصات ربات و الگوی کالیبراسیون ربات

در ابتدای شروع مرحله کالیبراسیون با ارسال فرمان به ربات، سبد ربات را در مرکز دستگاه مختصات ربات قرار می‌دهیم. شایان ذکر است دستگاه مختصات ربات در مرکز صفحه مستطیلی ربات قرار داده شده است. سپس الگوی کالیبراسیون ربات را زیر الگوی سبد ربات قرار می‌دهیم. برای رسیدن به دقت بالا، روی الگوی کالیبراسیون ربات هشت دید نوری قرار گرفته است (شکل ۵-ب) و دقیقاً منطبق بر این دیدها هشت سوراخ بر روی سبد ربات ایجاد شده تا با انبساط دیدوها و سوراخ‌ها دو الگو دقیقاً بر هم منطبق شوند (شکل ۵-پ). وقتی هشت دید نوری الگوی کالیبراسیون ربات با هشت سوراخ الگوی سبد منطبق شوند مرکز دستگاه مختصات الگوی کالیبراسیون ربات (X^S, Y^S, Z^S) نسبت به مرکز دستگاه مختصات ربات (X^R, Y^R, Z^R) در فاصله ۱۷ سانتی‌متری و ارتفاع ۳ سانتی‌متری قرار می‌گیرد (در نقطه $(-3, 17, 0)$) و محورهای این دو

پارامترهای مجهول C_1 تا C_8 با استفاده از رابطه ۱۸ و مشابه روش KFIG تخمین زده می‌شوند.

این روش قابلیت مدل کردن پارامترهایی نظری وزش باد را دارا است ولی به دلیل بیشتر شدن مجھولاتی که باید تخمین زده شود و همچنین برای این که بتوان با روش‌های دیگر این پژوهش، مقایسه‌ای علمی انجام داد از اثر باد صرف نظر شده است.

۳-۳-۳ تخمین مسیر به روش غیرخطی لونبرگ (LMN) مارکوات

فرصیات این قسمت همانند روش LSIG و KFIG است. از آنجا که الگوریتم لونبرگ مارکوات یک الگوریتم غیرخطی است و به شدت به مقادیر اولیه حساس است از نتایج تخمین الگوریتم LSIG یا الگوریتم KFIG به عنوان مقادیر اولیه الگوریتم لونبرگ مارکوات استفاده شده است. برای یافتن جواب بهینه از کمینه کردنتابع هزینه رابطه ۱۹ استفاده شد.

$$\min_{p_0, v_0} \sum_{i=1}^n \left\| \frac{1}{\tilde{p}_{zi}^c} \begin{bmatrix} \tilde{p}_{xi}^c \\ \tilde{p}_{yi}^c \end{bmatrix} - q_i \right\| \quad (19)$$

که در رابطه ۱۹، n تعداد نمونه‌ها تا لحظه t_i و $\tilde{p}_i^c = (\tilde{p}_{xi}^c, \tilde{p}_{yi}^c, \tilde{p}_{zi}^c)$ موقعیت تخمین زده شده توب در دستگاه مختصات دوربین و q_i موقعیت مرکز توب در صفحه تصویر در زمان t_i می‌باشد. موقعیت تخمینی توب، از طریق انگرال‌گیری از مدل بالستیک [۱۷] رابطه ۲۰ قابل حصول است.

$$\dot{v}(t) = g - \frac{c_w \pi d_b^2 \rho_a}{2m_b} \|v(t)\|v(t) \quad (20)$$

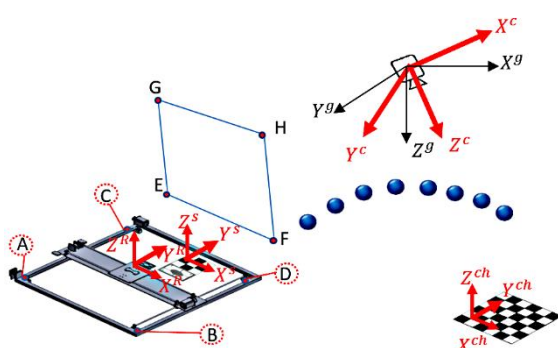
که در آن c_w ضریبی وابسته به شرایط پرتابی است، d_b قطر توب، ρ_a چگالی هوا و m_b جرم توب است. v سرعت توب در دستگاه مختصات دوربین است. با محاسبه مقادیر اولیه p_0 و v_0 بروش LSIG یا KFIG حل عددی معادله ۲۰ بروش لونبرگ مارکوات، موقعیت توب تخمین زده می‌شود. مقدار اولیه p_0 حاصل تخمین (C_1, C_3, C_5) و مقدار اولیه v_0 حاصل تخمین (C_2, C_4, C_6) می‌باشد.

۴-۳ محاسبه نقطه برخورد

در این مرحله نقطه برخورد و زمان برخورد توب با صفحه ربات تخمین زده می‌شود. خروجی این مرحله به ربات ارسال می‌شود تا سبد ربات قبل از زمان برخورد در نقطه برخورد قرار گیرد. از آنجایی که مختصات نقطه برخورد در دستگاه مختصات دوربین تخمین زده شده است باید این مختصات در دستگاه مختصات ربات بیان شود و چون ربات در محدوده دید دوربین قرار ندارد برای ایجاد ارتباط بین دستگاه مختصات

ماتریس‌های تبدیلات بدست می‌آید. در شکل ۷ نمای کلی از نحوه کالیبره کردن دستگاه مختصات ربات با دوربین نمایش داده شده است.

دستگاه باهم موازی شده و در نتیجه ماتریس چرخش بین این دو دستگاه، یک ماتریس همانی خواهد بود.



شکل ۷: نمای کلی از نحوه کالیبره کردن دستگاه مختصات ربات با دوربین

اکنون با مشخص بودن پارامترهای m_x , m_y , m_z , T_{cr} و R_{cr} می‌توانیم روابط تبدیل بین دو دستگاه مختصات دوربین و ربات را بیابیم. برای محاسبه نقطه برخورد توب با صفحه تصویر ابتدا چهار نقطه A , B , C , D (شکل ۷) در دستگاه مختصات ربات را به دستگاه مختصات دوربین نگاشت می‌کنیم که نقاط E , F , G و H حاصل می‌شوند. حال با استفاده از رابطه ۲۲ معادله صفحه EFGH را می‌باییم.

$$\begin{aligned} n_x(x - H_x) + n_y(y - H_y) + n_z(z - H_z) &= 0 \\ \vec{n} = (n_x, n_y, n_z) &= \overrightarrow{EF} \times \overrightarrow{EG} \\ H = (H_x, H_y, H_z) \end{aligned} \quad (۲۲)$$

در رابطه ۲۲ \vec{n} بردار نرمال صفحه و H یکی از نقاط نگاشت شده به دستگاه مختصات دوربین می‌باشد. اکنون با جایگذاری رابطه ۲ در رابطه ۲۲، با استفاده از رابطه ۲۳ زمان تخمینی برخورد t_{catch} را می‌باییم.

$$\begin{aligned} t^2 \left(\frac{1}{2} g n_x \right) \\ + t(n_x c_2 + n_y c_4 \\ + n_z c_6) \\ + (n_x c_1 - H_x + n_y c_3 \\ - H_y + n_z c_5 - H_z) \\ = 0 \end{aligned} \quad (۲۳)$$

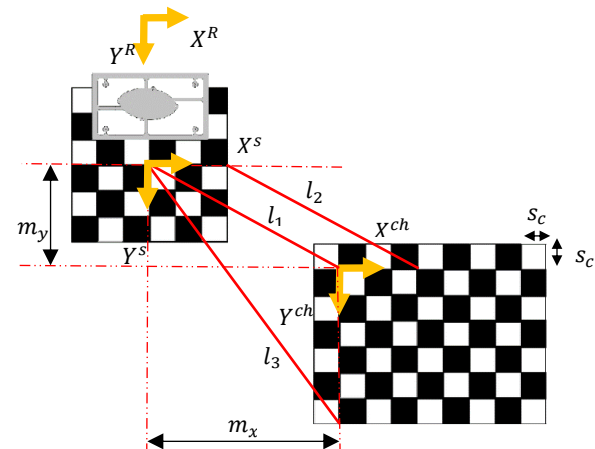
با قرار دادن t_{catch} در رابطه ۱ نقطه برخورد را در دستگاه دوربین یافته با استفاده از پارامترهای m_x , m_y , m_z , T_{cr} و R_{cr} ریات منقل می‌نماییم.

۳-۵ اجرای دستور توسط ربات

مرحله دوم: محاسبه بردار انتقال و ماتریس چرخش بین دستگاه‌های مختصات الگوی کالیبراسیون ربات و صفحه شطرنجی

در این مرحله یک صفحه شطرنجی (شکل ۵-الف) را در ناحیه دید دوربین قرار می‌دهیم و برای اینکه بردار انتقال و ماتریس چرخش بین دستگاه مختصات الگوی کالیبراسیون ربات ($X^S Y^S Z^S$) و دستگاه مختصات صفحه شطرنجی ($X^{ch} Y^{ch} Z^{ch}$) را بیابیم مانند شکل ۶ صفحه شطرنجی را آنتقار می‌چرخانیم تا دو پاره خط l_1 و l_2 هم اندازه شوند در اینصورت ماتریس چرخش دو دستگاه مختصات الگو و صفحه شطرنجی همانی خواهد شد. برای یافتن ماتریس انتقال کافی است فاصله عرضی m_y و فاصله طولی m_x دو مرکز را بیابیم. با اندازه گیری l_1 و l_3 و با توجه به شکل ۶ می‌توان m_x و m_y را از رابطه ۲۱ بدست آورد که در آن S_c اندازه هر ضلع خانه‌های صفحه شطرنجی برحسب واحد طول است.

$$\begin{aligned} l_1^2 &= m_x^2 + m_y^2 \\ l_3^2 &= m_x^2 + (m_y + 6s_c)^2 \end{aligned} \quad (۲۱)$$

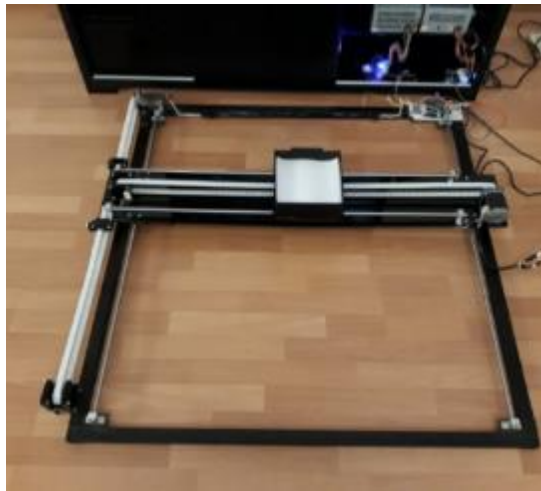


شکل ۶: نحوه تطبیق صفحه شطرنجی با الگوی کالیبراسیون ربات

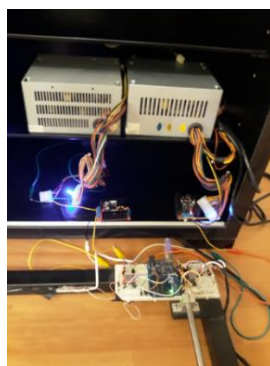
مرحله سوم: محاسبه بردار انتقال و ماتریس چرخش بین دستگاه‌های مختصات صفحه شطرنجی و دوربین

در این مرحله از الگوریتم EPnP [۱۵] برای محاسبه بردار انتقال T_{cr} و ماتریس دوران R_{cr} بین دستگاه مختصات دوربین و دستگاه مختصات روی صفحه شطرنجی استفاده می‌کنیم. گوشه‌های خانه‌ای صفحه شطرنجی به عنوان نقاط مرجع به الگوریتم EPnP اعمال شده و

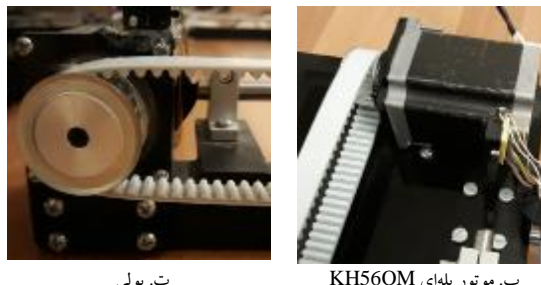
دربافت مراکز توب از طریق ارتباط بیسیم (WiFi) و ارسال دستور از طریق ارتباط سریال را دارا می‌باشد. نمایی کلی از ربات و اجزاء آن در شکل ۸ نشان داده شده است.



الف. نمای کلی ربات ساخته شده



ب. بردهای کنترل و تغذیه



ت. پولی

پ. موتور پلهای KH56QM

شکل ۸: نمای کلی از ربات ساخته شده و کنترل آن

برای دریافت تصاویر و اطلاعات ژیروسکوپ توسط تلفن همراه، برنامه‌ای با استفاده از نرم افزار اندروید استودیو نوشته شد و برای این که برنامه نوشته شده به زبان C++ و نیز کتابخانه OpenCV برای پردازش تصاویر دریافتی را بروی سیستم عامل اندروید اجرا نمود از افزونه NDK استفاده شد. برنامه تشخیص مرکز توب در سیستم عامل اندروید اجرا شد. سپس مرکز توب همراه با اطلاعات ژیروسکوپ از طریق ارتباط بیسیم تلفن

وقتی نقطه برخورد برای ربات ارسال می‌شود در صورتی که توب در ناحیه کاری ربات فرود بیاید ربات با ارسال دستور به موتورها سبد را به موقعیت مورد نظر هدایت می‌کند. در صورتی که نقطه فرود توب (x_j^R, y_j^R, z_j^R) باشد تعداد پلهای که هر کدام از موتورها باید طی کنند از رابطه ۲۴ بدست می‌آید. در این رابطه R_1 و R_2 شعاع‌های پولی^۱ W_1 و W_2 طول هر کدام از گامها و $Step_1$ و $Step_2$ بترتیب تعداد کل گام‌های ارسالی به موتورهای پلهای یک و دو هستند.

$$\begin{aligned} Step_1 &= \frac{360 * x_j^R}{2\pi R_1 W_1} \\ Step_2 &= \frac{360 * y_j^R}{2\pi R_2 W_2} \end{aligned} \quad (24)$$

۴- نتایج

در ابتدا بستر آزمایشگاهی و مشخصات ربات ساخته شده شرح داده می‌شود. سپس نتایج تشریح می‌گردد.

۱-۴ بستر آزمایشگاهی

رباتی که برای پیاده‌سازی عملی الگوریتم، طراحی و ساخته شد یک ربات دکارتی با ناحیه کاری 80×80 سانتیمتر است که توانایی جابجا کردن سبد تعییه شده بر روی آن در راستای محورهای X و Y را دارد می‌باشد. نقطه صفر ربات در مرکز ناحیه کاری در کمترین زمان ممکن فراهم گردد. فرکانس کاری موتورهای پلهای ربات 800 هرتز است که با توجه طول یک گام موتور پلهای $1/8$ درجه و شعاع پولی $1/5$ سانتیمتر ربات می‌تواند در یک ثانیه چهار دور حول محور خود دوران کند و در نتیجه سبد را به اندازه $37/68$ سانتی‌متر در راستای محور X و به همین میزان در راستای محور Y جابجا کند. به دلیل عدم استفاده از سیستم بازخورد برای اطمینان از اینکه ربات دقیقاً به نقطه مورد نظر حرکت می‌کند باید موتورها دقیقاً تمام گام‌ها را اجرا کنند و به همین دلیل باید گشتاور موردنیاز فراهم شود که این کار با دادن تغذیه ۲۴ ولت به موتورها فراهم شد. برای کنترل موتورهای ربات از یک برد میکروکنترلی آردینو مدل UNO و دو درایور موتور پلهای ای به شماره A4988 استفاده شد که برد آردینو از طریق پورت سریال به پردازنده مرکزی متصل است و از این طریق فرامین لازم را دریافت می‌کند. سیستم بینایی موردن استفاده یک تلفن همراه هوشمند انتخاب شد تا علاوه بر دوربین بتوان از ژیروسکوپ آن نیز استفاده کرد. دوربین قابلیت فیلم برداری با رزولوشن 1280×720 و نرخ فریم 60 دارد و اندازه هر ضلع پیکسل آن برابر $1/12$ میکرومتر می‌باشد. سیستم پردازش مرکزی شامل پردازنده‌ی Intel Core i5 2.6GHZ با RAM 6GB و سیستم عامل ویندوز ۱۰ است که علاوه بر عملیات پردازش وظیفه

¹ pulley

ماتریس‌های کوواریانس خطای P_i ، کوواریانس فرآیند Q_i و کوواریانس نویز N_i و بردار حالت اولیه هم دقیقاً مشابه روش KFIG در نظر گرفته شد. زمان اجرا $12/3$ میلی ثانیه و خطای تخمین بعد از دریافت 100 فریم تصویر برابر $0/438$ بودست آمد.

در روش LMI مقادیر اولیه با استفاده از دو روش LSIG یا KFIG محاسبه گردید. الگوریتم LMI با فرض ضریب میرایی برابر $0/001$ اجرا شد. زمان اجرای الگوریتم به علت حل عددی معادلات در حدود $0/3245$ ثانیه به طول انجامید. خطای در صورتی که مقادیر اولیه با LSIG تخمین زده شده باشند باشد برابر $0/0063$ و در صورتی که با KFIG تخمین زده شده باشند برابر $0/006$ محاسبه شد. قطر توب $d_b = 2\text{cm}$ ، چگالی هوا $\rho_a = 1/293 \text{ kg/m}^3$ و جرم توب $m_b = 8/46 \text{ gr}$ در نظر گرفته شد.

جدول ۱: پارامترهای مورد استفاده در آزمایش‌های عملی

نام پارامتر	نماد	مقدار
ضرایب داخلی دوربین	f_u	$1829/76$
	f_v	$1832/49$
	u_0	$639/17$
	v_0	$359/141$
زوایای اویلر ژیروسکوپ	γ_a	20°
	θ_a	$1/40^\circ$
	φ_a	0°
زاویای اویلر صفحه شطرنجی	γ_c	$42/8^\circ$
	θ_c	$37/9^\circ$
	φ_c	$-2/8^\circ$
ماتریس انتقال	T_{crx}	$9/9 \text{ cm}$
	T_{cry}	$138/6 \text{ cm}$
	T_{crz}	$254/4 \text{ cm}$

اکنون به مقایسه سه روش LSIG، KFIG و KFI می‌پردازیم. در شکل ۹ خروجی‌های سه روش نشان داده شده است. همچنین با افزودن نویزی در محدوده $[3-3]$ پیکسل بر مراکز توب تاثیر نویز بر این سه روش و تاثیر بلوک برآش بر کاستن اثر نویز شان داده شده است. در جدول ۲ میزان خطای پارامترهای تخمین زده شده توسط سه روش پس از انجام تخمین بر روی 100 نمونه آورده شده است. در جدول ۳ زمان اجرای هر سه روش پس از انجام تخمین بر روی 100 نمونه آورده شده است. همچنین زمان هر سه الگوریتم با افزودن بلوک برآش نشان داده شده است. در شکل ۱۰ مسیر حرکت مقدار واقعی (به صورت خط توپ قرمز) و مسیر حرکت تخمینی (به صورت خط چین آبی) با روش LSIG بعد از 100 فریم نشان داده شده است.

همراه برای سیستم پردازش مرکزی با پروتکل سوکت^۱ ارسال گردید. بر روی سیستم پردازش مرکزی برنامه‌ای به زبان C++ نوشته شد که پس از دریافت اطلاعات مرکز توب و ژیروسکوپ، عملیات تخمین و محاسبه نقطه برخورد را انجام داده و مختصات نقطه برخورد را با استفاده از پورت سریال برای برد آردوینو ارسال می‌کند. برد آردوینو مختصات دریافتی را به فرامین مناسب برای موتورهای پله‌ای تبدیل کرده قرار می‌گیرد. در قسمت نمونه‌برداری که توسط دوربین انجام می‌گیرد سرعت نمونه‌برداری را می‌توان با انتخاب دوربین با نرخ فریم بالا، افزایش داد. نرخ فریم دوربین از مهمترین عوامل موثر بر روند تخمین است. ولی نکته مهم تغییر نرخ فریم اغلب دوربین‌ها با تغییر نور محیط است (هر چه نور کمتر time دوربین باید طوری تنظیم شود که شدت نور تاثیری در نرخ فریم نداشته باشد و فاصله زمانی بین دو فریم نیز ثابت و قابل محاسبه گردد).

۴- نتایج بدست آمد

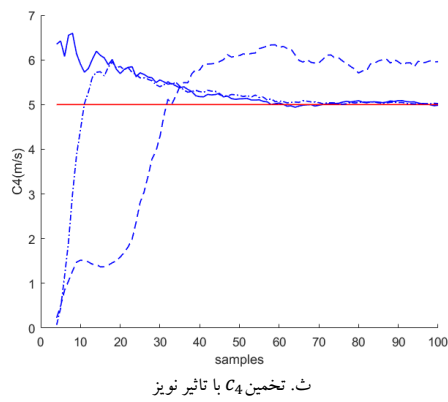
در این بخش ابتدا نتایج هر کدام از روش‌های به کار رفته و مقادیر پارامترهای آن‌ها بیان می‌شوند. سپس نتایج روش‌ها باهم مقایسه می‌شود. در نهایت نتایج آزمایش‌های عملی مطرح می‌گردد.

قبل از استفاده از روش LSIG باید زوایای اویلر، ماتریس ضرایب داخلی دوربین و پارامترهای T_{cr} ، R_{cr} محاسبه شوند. زوایای اویلر با استفاده از ژیروسکوپ بکار رفته در تلفن همراه هوشمند بدست آمدند. ضرایب داخلی دوربین از الگوریتم کالیبراسیون ژانگ [۱۶] بدست آمد، همچنین پارامترهای زوایای اویلر صفحه‌ی شطرنجی و T_{cr} از الگوریتم EPnP حاصل شده‌اند که با استفاده زوایای اویلر صفحه‌ی شطرنجی R_{cr} محاسبه می‌شود. مقادیر عملی تمامی پارامترهای فوق در جدول ۱ نشان داده شده‌اند. پس از بدست آوردن تمام پارامترها و ضرایب مورد نیاز الگوریتم LSIG اجرا گردید که زمان اجرای آن $11/9$ میلی ثانیه و خطای تخمین بعد از دریافت 100 فریم تصویر برابر $0/089$ بدست آمد.

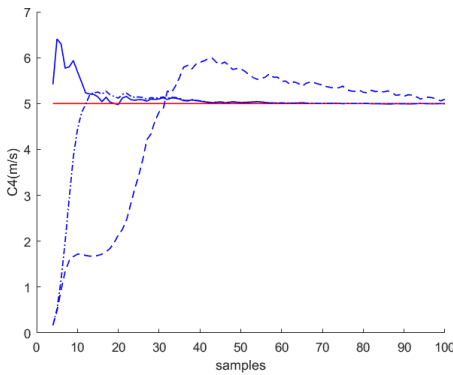
در روش KFIG پارامترهای مورد نیاز زوایای اویلر، ماتریس ضرایب داخلی دوربین، T_{cr} ، R_{cr} به همان روش گفته شده در LSIG محاسبه می‌شوند. مقادیر اولیه ماتریس‌های کوواریانس خطای P_i ، کوواریانس فرآیند Q_i و ماتریس کوواریانس نویز N_i بصورت یک ماتریس قطری با اعضای قطر اصلی $0/001$ مقداردهی شده‌اند. مقادیر اولیه تخمینی برای درایه‌های بردار حالت نیز $0/001$ در نظر گرفته شد. زمان اجرا حدود $10/095$ میلی ثانیه و خطای تخمین بعد از دریافت 100 فریم تصویر برابر $0/095$ بدست آمد.

در روش KFI پارامترهای ماتریس ضرایب داخلی دوربین، R_{cr} به همان روش گفته شده در LSIG محاسبه می‌شوند. مقادیر اولیه T_{cr}

¹ socket

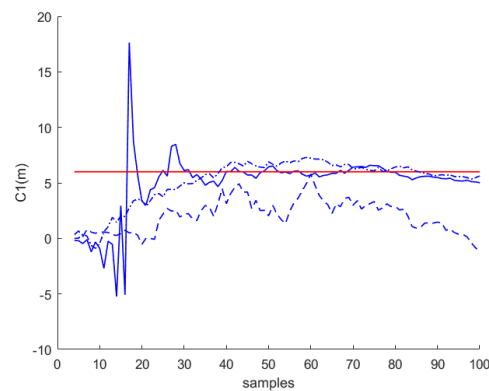


ث. تخمین C_4 با تاثیر نویز

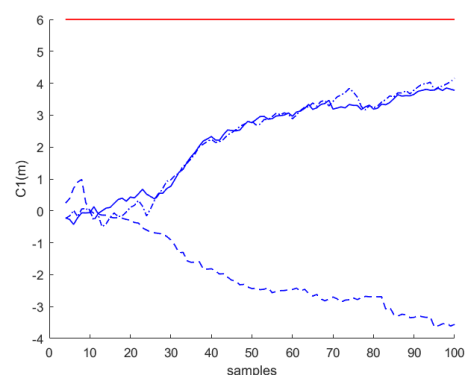


ج. تخمین C_4 بدون وجود نویز

شکل ۹: منحنی های تخمین پارامترهای C_4 و C_1 با استفاده از روش LSIG به صورت خط توپر آبی، KFIG به فرم خط چن نقطه و KFI به فرم خط چن و مقدار واقعی به فرم خط توپ قرمز



الف. تخمین C_1 با تاثیر نویز و بلوک برآش



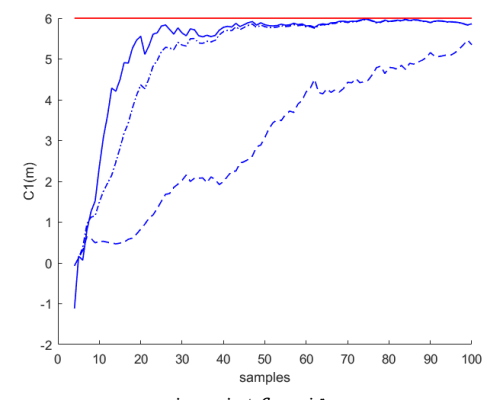
ب. تخمین C_1 با تاثیر نویز

جدول ۲: خطای پارامترهای تخمین زده شده با سه روش LSIG و KFI و KFIG پس از ۱۰۰ فریم

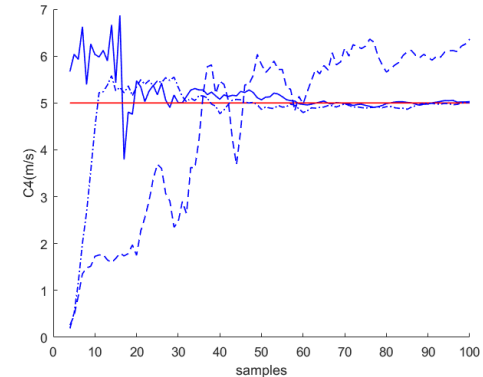
KFI	KFIG	LSIG	تخمین اولیه
۰/۸۴۹۲	۰/۱۴۲۹	۰/۱۱۲۸	$c_1 - \tilde{c}_1$
۰/۸۴۱۹	۰/۱۸۰۲	۰/۱۷۴۰	$c_2 - \tilde{c}_2$
۰/۴۲۰۹	۰/۰۸۹۳	۰/۰۸۶۲	$c_3 - \tilde{c}_3$
۰/۰۹۵۰	۰/۰۰۴۹	۰/۰۱۶۴	$c_4 - \tilde{c}_4$
۰/۴۴۳۳	۰/۰۰۴۷۰	۰/۰۰۴۵۵	$c_5 - \tilde{c}_5$
۰/۳۳۴۳	۰/۱۰۶۲	۰/۱۰۲۵	$c_6 - \tilde{c}_6$
۰/۰۹۶	-	-	$c_7 - \tilde{c}_7$
۱/۰۶۲۲	-	-	$c_8 - \tilde{c}_8$

جدول ۳: زمان اجرای سه روش LSIG، KFIG و KFI برای انجام تخمین پس از ۱۰۰ فریم

نام روش	بدون استفاده از برآش	با استفاده از برآش
LSIG	۱۱/۸۶۸ms	۱۲/۸۳۴ms
KFIG	۹/۹۲۵ms	۱۱/۴۲۵ms
KFI	۱۲/۳۲۱ms	۱۳/۲۵۴ms



پ. تخمین C_1 بدون وجود نویز



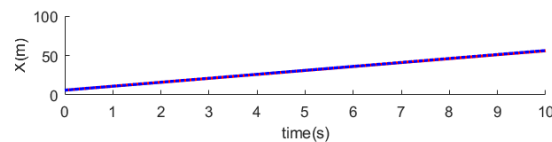
ت. تخمین C_4 با تاثیر نویز و بلوک برآش

در این قسمت نتایج اعمال تخمین بر روی چند ویدئو از حرکت پرتاپه ارائه می‌شود. شکل ۱۱ نتایج الگوریتم LSIG و تاثیر بلوک برآش پس از ۷ و ۱۵ فریم را نشان می‌دهد. دایره‌ها نشان‌گر موقعیت تخمین زده شده LSIG می‌باشند. دایره شماره یک حاصل تخمین مرکز توب برآش LSIG بعد از دریافت ۷ فریم است. دایره شماره دو تخمین مرکز توب برآش LSIG بعد از دریافت ۱۵ فریم است. دایره شماره سه تخمین مرکز توب برآش LSIG بعلاوه استفاده از بلوک برآش منحنی بعد از دریافت ۷ فریم است. دایره شماره چهار تخمین مرکز توب برآش LSIG بعلاوه استفاده از بلوک برآش منحنی بعد از دریافت ۱۵ فریم است.

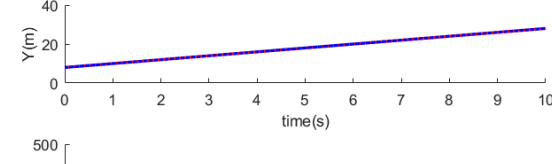


شکل ۱۱: تاثیر بلوک برآش منحنی برای تخمین مسیر برآش LSIG

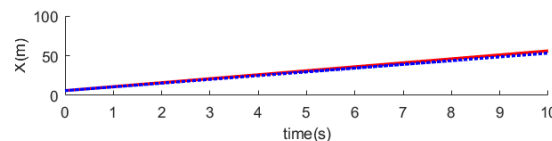
در این بخش پیاده‌سازی عملی الگوریتم تشریح می‌شود. در پیاده‌سازی عملی پارامتر زمان از مهم‌ترین عوامل تاثیرگذار است. به دلیل سرعت نه‌چندان زیاد موتورهای پله‌ای، رسیدن سبد به نقطه پرخورد توب با ناحیه کاری یک محدودیت زمانی ایجاد می‌کند. از آنجایی که مدت زمان پرتاپ توب از لحظه پرتاپ تا لحظه فرود در آزمایش‌های انجام شده حدود ۱/۲ ثانیه است. با در نظر گرفتن ۰/۲ ثانیه برای رسیدن توب به ناحیه دید دوربین و فرض ۰/۷ ثانیه برای عکس‌العمل ربات، تنها ۰/۳ ثانیه برای کل فرایند پردازش زمان باقی می‌ماند. اختصاص ۰/۷ ثانیه برای رسیدن سبد ربات به نقطه فرود توب، این امکان را برای ربات فراهم می‌کند که با وجود نداشت فیدبک، در اثر پیش آمدن مواردی نظیر لقی محورها و عواملی که باعث کندی طی شدن مسیر می‌شوند ربات بتواند در زمان لازم به نقطه فرود برسد. اگر دوربین با نرخ ۶۰ فریم در ثانیه تصویربرداری نماید در بازه زمانی ۰/۳ ثانیه ۱۸ فریم قابل دستیابی است و بنابراین باید نقطه فرود توب حداقل در ۱۸ فریم تخمین زده شود. به همین دلیل الگوریتم LSIG بدیل قابلیت تخمین مسیر در ۱۸ فریم (شکل ۹-پ) برای پیاده‌سازی سخت افزاری انتخاب شد. از طرفی با توجه به نرخ ۶۰ فریم در ثانیه فاصله بین دو فریم متواالی تصویر ۱۶/۷ میلی ثانیه است. یعنی پس از دریافت یک فریم تصویر برای کلیه محاسبات مربوط به الگوریتم (گامهای ۱-۳) ۶ الگوریتم حداقل ۱۶/۷ میلی ثانیه زمان وجود دارد تا الگوریتم عملکرد بلادرنگی داشته باشد. برای افزایش راندمان پردازش، گام ۱-۳ (یافتن مرکز توب) بر روی پردازنده تلفن همراه (در مدت ۱۳/۱ میلی ثانیه) و بقیه گامها (۲-۳) (۶-۳) بر روی پردازنده مرکزی (در مدت ۱۳/۴۵ میلی ثانیه) و بصورت موازی انجام گرفت. پس مدت زمان لازم برای کلیه گامهای الگوریتم از لحظه دریافت یک فریم تا لحظه ارسال فرمان به ربات ۱۳/۴۵ میلی ثانیه خواهد بود که با توجه به بازه زمانی ۱۶/۷ میلی ثانیه سیستم عملکرد بلادرنگی خواهد داشت.



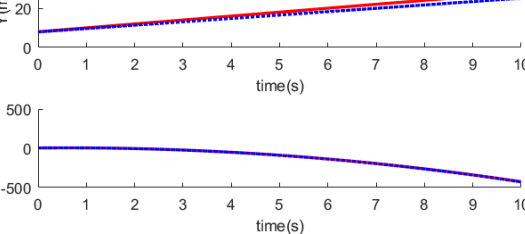
الف. منحنی‌های X و Y و Z بر حسب زمان پس از ۱۰۰ فریم



الف. منحنی‌های X و Y و Z بر حسب زمان پس از ۳۰ فریم



ب. منحنی‌های X و Y و Z بر حسب زمان پس از ۱۰۰ فریم



ب. منحنی‌های X و Y و Z بر حسب زمان پس از ۳۰ فریم

شکل ۱۰: منحنی‌های مسیر واقعی و تخمینی با روش LSIG بعد از ۳۰ و ۱۰۰ فریم

همان‌طور که گفته شد روش لوبرگ مارکوات برای داشتن عملکرد مناسب نیاز به یک تخمین اولیه دارد با دادن مقادیر خروجی دو روش KFIG و LSIG بعد از ۵۰ نمونه، به عنوان مقادیر اولیه، با پنجاه نمونه بعدی مجهولات با الگوریتم لوبرگ مارکوات تخمین زده شد. در صورتی که مقادیر اولیه از LSIG حاصل شده باشد خطای ۰/۰۰۶۳ و در صورتی که مقادیر اولیه از KFIG حاصل شده باشد خطای ۰/۰۰۶ اندازه‌گیری شد.

جدول ۴: زمان اجرای روش لوبرگ مارکوات به ازای هر دو روش

KFIG و LSIG بعنوان تخمین‌گر اولیه پس از ۱۰۰ فریم

KFIG	LSIG	تخمین اولیه
۰/۰۰۶۸	۰/۰۰۷۳	$c_1 - \tilde{c}_1$
۰/۰۱۲۱	۰/۰۱۲۸	$c_2 - \tilde{c}_2$
۰/۰۰۶۹	۰/۰۰۷۴	$c_3 - \tilde{c}_3$
۰/۰۰۱۰	۰/۰۰۱۰	$c_4 - \tilde{c}_4$
۰/۰۰۸۲	۰/۰۰۸۶	$c_5 - \tilde{c}_5$
۰/۰۰۰۷۸	۰/۰۰۰۸	$c_6 - \tilde{c}_6$

- [8] E. Ribnick, S. Atev and N. P. Papanikolopoulos, "Estimating 3D Positions and Velocities of Projectiles from Monocular Views," *IEEE Transactions on Pattern Analysis and Machine Intelligence*, vol. 31, no. 5, pp. 938 – 944, 2009.
- [9] R. Herrejon, S. Kagami and K. Hashimoto, "Composite visual servoing for catching a 3-D flying object using RLS trajectory estimation from a monocular image sequence," in Proc. IEEE International Symposium on Computational Intelligence in Robotics and Automation, CIRA, 2010, pp. 526 – 531.
- [10] J.-D. Tian, J. Sun, and Y.-D. Tang, "Short-Baseline Binocular Vision System for a Humanoid Ping-Pong Robot," *Journal of Intelligent & Robotic Systems*, vol. 64, no. 3–4, pp. 543–560, May 2011.
- [11] S. Kim and A. Billard, "Estimating the non-linear dynamics of free-flying objects," *Robotics and Autonomous Systems*, vol. 60, no. 9, pp. 1108–1122, Sep. 2012.
- [12] Q. Xie, Y. Liu, R. Xiong and J. Chu, "Real-time Accurate Ball Trajectory Estimation with Asynchronous Stereo Camera System for Humanoid Ping-Pong Robot," in Proc. IEEE International Conference on Robotics & Automation (ICRA), 2014, pp. 6212-6217.
- [13] M. Li, A. Ravankar, A. A. Ravankar, Y. Kobayashi, and T. Emamu, "Estimation of position and trajectory of a flying ball in 3-D space," in 2015 IEEE/SICE International Symposium on System Integration (SII), 2015.
- [14] P. Cigliano, V. Lippiello, F. Ruggiero and B. Siciliano, "Robotic Ball Catching with an Eye-in-Hand Single-Camera System," *IEEE Transactions on Control Systems Technology*, vol. 23, pp. 1657 - 1671, 2015.
- [15] V. Lepetit, F. Moreno-Noguer, and P. Fua, "EPnP: An Accurate O(n) Solution to the PnP Problem," *International Journal of Computer Vision*, vol. 81, no. 2, pp. 155–166, Jul. 2008.
- [16] Z. Zhang, "A flexible new technique for camera calibration," *IEEE Transactions on Pattern Analysis and Machine Intelligence*, vol. 22, no. 11, pp. 1330–1334, 2000.
- [17] U. Frese, B. Bauml, S. Haidacher, G. Schreiber, I. Schaefer, M. Hahnle, and G. Hirzinger, "Off-the-shelf vision for a robotic ball catcher," in IEEE/RSJ International Conference on Intelligent Robots and Systems, (Maui), 2001.

۵- جمع بندی

با توجه به شبیه‌سازی‌ها و تست‌های عملی انجام شده می‌توان به این جمع‌بندی رسید که روش حداقل مربعات در تعداد نمونه‌های کم، روش مناسبی می‌باشد ولی در تعداد نمونه‌های بیشتر، روش حداقل مربعات و فیلتر کالمن خطی از نظر سرعت و دقت تقریباً مشابه هم عمل می‌کنند. با افزودن روش غیر خطی لونبرگ مارکوات به روش‌های خطی دقت به طرز چشم‌گیری افزایش می‌یابد. ولی از آنجایی که حجم پردازش بیشتر از روش‌های خطی است برای عملکرد بلاذرنگ به پردازندۀ‌های قوی‌تری نیاز خواهد بود. با شبیه‌سازی‌ها و نیز آزمایش‌های انجام شده بر روی چند ویدئو از حرکت پرتابه مشخص گردید که الگوریتم تخمین مسیر بروش لونبرگ مارکوات که از فیلتر کالمن بعنوان تخمین گر اولیه استفاده می‌نماید نسبت به سایر روش‌ها از عملکرد بهتری برخوردار است. از طرفی بدليل محدودیت‌های سخت افزاری مربوط به قدرت پردازش پردازنده، نرخ فریم نسبتاً پایین دوربین و عملکرد کند موتورهای پله‌ای، در آزمایش‌های عملی از روش حداقل مربعات برای رسیدن به یک سیستم بلاذرنگ استفاده شد. با توجه به استفاده از بلوک تخمین مسیر و استفاده از محاسبات در حد زیرپیکسل الگوریتم‌های پیشنهادی عملکرد مناسبی تحت شرایط نویزی از خود نشان دادند. ملاحظات عملی مربوط به پیاده سازی سیستم از قبیل کالیبراسیون دوربین و ربات، ثابت نگه داشتن نرخ فریم دوربین و برنامه نویسی در محیط سیستم عامل اندروید از دیگر مواردی است که در این مقاله به آن پرداخته شد.

مراجع

- [1] S. Kim, A. Shukla, and A. Billard, "Catching objects in flight," *IEEE Trans. Robot.*, vol. 30, no. 5, pp. 1049–1065, Oct. 2014.
- [2] Z. Zhang, D. Xu, and M. Tan, "Visual measurement and prediction of ball trajectory for table tennis robot," *IEEE Trans. Instrum. Meas.*, vol. 59, no. 12, pp. 3195–3205, Dec. 2010.
- [3] C. Lin, Y. Chiu, The DSP based catcher robot system with stereo vision, in: IEEE/ASME International Conference on Advanced Intelligent Mechatronics, Xi'an, PRC, 2008, pp. 897–903.
- [4] Q. He et al., "Simple 3-D point reconstruction methods with accuracy prediction for multiocular system," *IEEE/ASME Trans. Mechatronics*, vol. 18, no. 1, pp. 366–375, Feb. 2013.
- [5] V. Lippiello, F. Ruggiero, and B. Siciliano, "3D monocular robotic ball catching," *Robot. Auto. Syst.*, vol. 61, no. 12, pp. 1615–1625, 2013.
- [6] S. T. Kao, Y. Wang, M. T. Ho, "Ball catching with omni-directional wheeled mobile robot and active stereo vision," in 2017 IEEE 26th International Symposium on Industrial Electronics (ISIE), 2017.
- [7] P.-Y. Zhang and T.-S. Lü, "Real-Time Motion Planning for a Volleyball Robot Task Based on a Multi-Agent Technique," *Journal of Intelligent and Robotic Systems*, vol. 49, no. 4, pp. 355–366, Mar. 2007.